

不同方法提取的艾叶挥发油指纹图谱分析

曾虹燕

(湘潭大学生物技术研究所,湖南湘潭411105)

摘要:采取超临界CO₂、微波和水蒸气蒸馏三种方法提取艾叶挥发油,利用GC-MS分析了不同方法提取的艾叶挥发油指纹图谱。超临界CO₂和微波萃取的艾叶挥发油的化学成分相似,水蒸气蒸馏与前两种方法提取的挥发油的化学成分有些差异。超临界CO₂萃取的艾叶挥发油更具天然性,超临界CO₂萃取法为提取艾叶挥发油的较理想方法;微波辅助萃取也不失为一种可行的方法。

关键词:艾;挥发油;超临界CO₂;微波;GC-MS

中图分类号:Q946 文献标识码:A 文章编号:1000-3142(2005)06-0587-04

Fingerprint chromatogram of the volatile oils of the leaves from *Artemisia argyi* with different methods

ZENG Hong-yan

(The Biotechnology Research Institute, Xiangtan University, Xiangtan 411105, China)

Abstract: The volatile oils of the leaves from *Artemisia argyi* were obtained with supercritical CO₂, microwave and stream distillation. Their GC-MS fingerprint chromatogram were analyzed. The compounds from the volatile oils extracted with supercritical CO₂ and microwave are resemble. The oil with stream distillation is different than the two formers. The volatile oil obtained with supercritical CO₂ is natural. Supercritical CO₂ extraction is ideal for extracting the volatile oils, and microwave extraction is also viable.

Key words: *Artemisia argyi*; volatile oil; supercritical CO₂; microwave; GC-MS

艾叶为菊科植物艾(*Artemisia argyi* Levl. et Vant.)的干燥叶。具有重要的药用价值。艾叶挥发油具有平喘、镇咳、祛痰和消炎等作用,用于治疗支气管炎和空气消毒等(江苏新医学院,2002;姚发业等,2001;潘炯光等,1992)。对艾叶的化学成分虽已有一些研究,但利用GC-MS,对临界CO₂萃取和微波诱导萃取的艾叶挥发油成分的分析研究尚未见报道(姚发业,2001;尹庚明等,1999;周峰等,2000)。本文采用超临界CO₂、微波和水蒸气蒸馏的方法对艾叶进行挥发油的提取,所得挥发油分别进行GC-

MS指纹图谱分析,并对这三种方法提取的挥发油成分进行了对比。

1 实验材料与方法

1.1 材料

艾叶干品购自湖南邵东廉桥。用刀切碎,粉碎成粉末状(50目)样品。CO₂为食品级。

1.2 仪器与试剂

江苏南通华安超临界萃取有限公司 HA221-50-

收稿日期:2004-12-07 修订日期:2005-04-15

基金项目:湖南省科技厅重点项目(02SSY1001-11)[Supported by Department of Science and Technology of Hunan Province (02SSY1001-11)]。

作者简介:曾虹燕(1963-),女,河南洛阳人,博士,教授,主要从事植物资源和植物有效成分的分离提取工作,E-mail:<hyzeng@xtu.edu.cn>。

06 超临界萃取装置;美国 Hewlett-Packard 公司 HP6890/5973 型气-质-计算机联用机;瑞士 BUCH 公司 HD-205 型旋转薄膜蒸发仪;所用试剂均为分析纯。

1.3 气相色谱条件

10 min;载气:He;柱前压 49 kPa;柱流量:6 石英毛细管柱 HP-5MS,50 m×0.25 mm×0.25 μm;升温程序:80 °C 保持 5 min,以 4 °C/min 速度升至 260 °C,保持 10 min;进样量:1 μL;进样口温度:280 °C;分流比为 50:1。

1.4 质谱条件

离子源为 EI;电离电压:70 ev;离子源温度:270

°C;质谱范围:50~500 amu;质量范围:30~400 amu;扫描周期:1 s。

1.5 实验方法

1.5.1 水蒸气蒸馏法 将艾叶 170 g 装入挥发油提取器中,加水蒸馏 6 h,收集挥发油,称重,萃取率为 1.87%。

1.5.2 微波萃取法 将艾叶样品准确称量 40 g,装入烧瓶中,加入 100 mL 石油醚,在辐射时间 200 s,微波功率 720 w,溶剂用量 400 mL 的条件下进行微波萃取。用 40 mL 石油醚洗涤烧瓶的残渣,将滤液集中于锥形瓶中。经减压蒸馏回收石油醚,用无水 Na_2SO_4 干燥样品,24 h 后称重,萃取率为 4.85%。

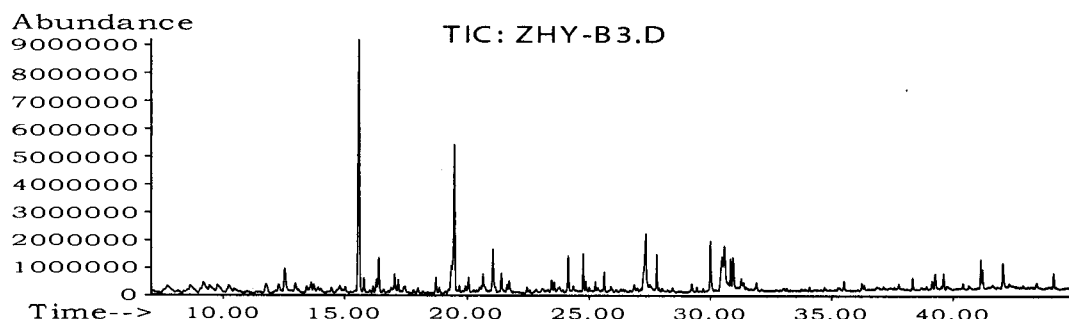


图 1 艾叶挥发油指纹图谱(微波)

Fig. 1 The GC fingerprint chromatogram of the volatile oil of the leaves from *Artemisia argyi* (Microwave)

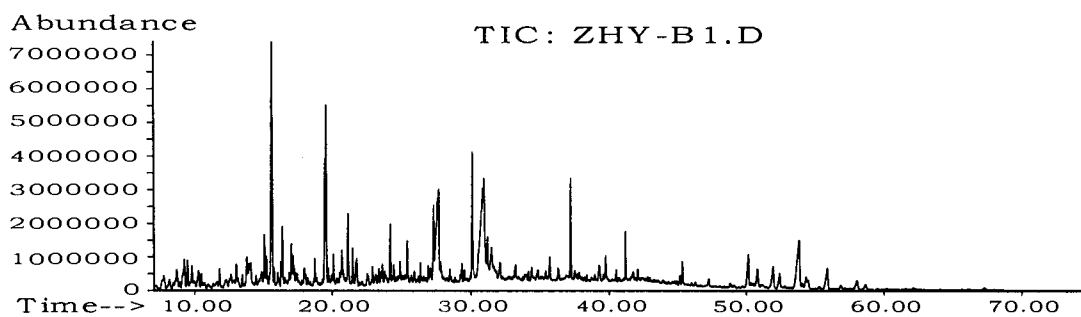


图 2 艾叶挥发油指纹图谱(超临界 CO_2)

Fig. 2 The GC fingerprint chromatogram of the volatile oil of the leaves from *Artemisia argyi* (SFE- CO_2)

1.2.3 超临界 CO_2 萃取法 准确称取艾叶 170 g,装入 1 L 的萃取罐内,超临界 CO_2 萃取。萃取压力 16 MP,萃取温度 31 °C,流量 20 kg/h;解析釜 I 压力 7~8 MPa,温度 60 °C;解析釜 II 压力 4~6 MPa,35 °C,萃取时间为 80 min,每 20 min 收集提取物称量,萃取率为 3.75%,储存于冰箱用 GC-MS 分析。

1.6 艾叶挥发油的测定

将三种方法所得的艾叶挥发油用乙酸乙酯溶解后分别进行 GC-MS 分析鉴定。

2 结果与讨论

2.1 结果

艾叶挥发油的含量及性状见表 1,成分分析结果见表 2;挥发油指纹图谱见图 1、2、3。

由表 1 知:超临界 CO_2 萃取和水蒸气蒸馏提取艾叶挥发油在外观性状上优于微波萃取的,但微波萃取收率高,时间短,可能含有杂质。超临界萃取

CO_2 收率较之传统水蒸气蒸馏萃取方法已经有很大的提高, 品质也较好, 适合萃取品质要求高的挥发油。同时不存在有机溶剂残留所带来的一系列问题。

2.2 讨论

(1) 通过 GC-MS 分析, 水蒸气蒸馏所得的艾叶挥发油共分离出 56 个峰, 所得组分质谱图经计算机

检索并参照标准谱图和质谱的裂解规律, 鉴定出 30 种成分, 占其挥发油总相对含量的 78.79% (以峰面积计, 下同); 超临界萃取所得的艾叶挥发油共分离出 53 个峰, 鉴定出 39 种成分, 占其挥发油总相对含量的 78.91%; 微波萃取所得的艾叶挥发油共分离出 48 个峰, 鉴定出 30 种成分, 占其挥发油总相对含

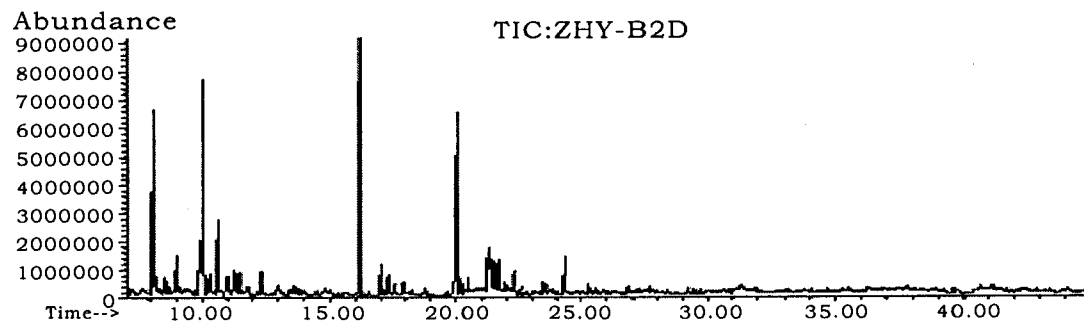


图 3 艾叶挥发油指纹图谱(水蒸气蒸馏)

Fig. 3 The GC fingerprint chromatogram of the volatile oil of the leaves from *Artemisia argyi* (steam distillation)

表 1 不同方法提取的艾叶挥发油理化性质及提取率

Table 1 Physics and chemistry and rate of extraction of the volatile oils in different methods

实验方法 Methods of experiment	挥发油外观性状 Appearance of volatile oil	时间 Time	萃取率(%) Rate of extraction
超临界 CO_2 Supercritical CO_2	黄色 Yellow	80 min	3.75
微波 Microwave	黄褐色 Snuff color	200 s	4.85
水蒸气蒸馏 Steam distillation	淡蓝色 Thin blue	6 h	1.87

表 2 艾叶挥发油的化学成分

Table 2 The compounds of the volatile oils of the leaves from *Artemisia argyi*

序号 No.	化合物名称 Compounds	分子式 Molecular formula	分子量 Molecular mass	相对含量(%) Relative content		
				SFE	Micro	SD
1	2-甲基-1-戊烯-1-酮(1-Penten-1-one, 2-methyl-)	$\text{C}_6\text{H}_{10}\text{O}_2$	98	1.165	0.559	—
2	4-甲基苯酚(Phenol, 4-methyl-)	$\text{C}_7\text{H}_8\text{O}$	108	—	1.018	—
3	1,2,3-三甲基苯(Benzene, 1,2,3-trimethyl-)	C_9H_{12}	120	2.894	0.446	—
4	3,5-二甲基-2-环己烯-1-酮(2-Cyclohexen-1-one, 3,5-dimethyl)	$\text{C}_8\text{H}_{12}\text{O}$	124	0.663	1.082	1.537
5	7-甲基-3,4-辛二烯(3,4-Octadiene, 7-methyl-)	C_9H_{16}	124	0.811	0.760	0.146
6	1-甲基-4-(1-甲基乙烯基)苯(Benzene, 1-methyl-4-(1-methylethenyl)-)	$\text{C}_{10}\text{H}_{12}$	132	0.575	0.607	0.417
7	金刚烷(Adamantane)	$\text{C}_{10}\text{H}_{16}$	136	2.030	1.848	—
8	顺罗勒烯(cis-Ocimene)	$\text{C}_{10}\text{H}_{16}$	136	—	—	1.196
9	莰烯(Camphene)	$\text{C}_{10}\text{H}_{16}$	136	0.753	—	0.887
10	γ -松油烯(gamma-Terpinene)	$\text{C}_{10}\text{H}_{16}$	136	—	—	1.961
11	十氢萘(Naphthalene, decahydro-)	$\text{C}_{10}\text{H}_{18}$	138	1.140	1.113	—
12	1-甲亚环丙基-环戊醇(1-(Methylenecyclopropyl)-cyclopentanol)	$\text{C}_9\text{H}_{14}\text{O}$	138	—	—	1.035
13	4,6,6-三甲基, 双环[3.1.1]庚-3-烯-2-酮 (Bicyclo[3.1.1]hept-3-en-2-one, 4,6,6-trimethyl)	$\text{C}_{10}\text{H}_{14}\text{O}$	150	0.941	—	2.659
14	2-甲基-5-(1-甲基乙烯基)-2 环己烯-1-酮 (2-Cyclohexen-1-one, 2-methyl-5-(1-methylthienyl))	$\text{C}_{10}\text{H}_{14}\text{O}$	150	—	—	1.850
15	2-甲基-5(1-甲乙基)苯酚(Phenol, 2-methyl-5-(1-methylethyl))	$\text{C}_{10}\text{H}_{14}\text{O}$	150	—	3.652	0.829
16	樟脑(Camphor)	$\text{C}_{10}\text{H}_{16}\text{O}$	152	1.377	1.975	1.472
17	1,3,4-三甲基-1-甲醛基-3-环己烯 (3-Cyclohexene-1-carboxaldehyde, 1,3,4-trimethyl)	$\text{C}_{10}\text{H}_{16}\text{O}$	152	0.730	—	—
18	顺香芹醇(trans-Carveol)	$\text{C}_{10}\text{H}_{16}\text{O}$	152	—	—	2.538
19	内冰片(endo-Borneol)	$\text{C}_{10}\text{H}_{18}\text{O}$	154	1.745	1.478	—

(续表 2)

序号 No.	化合物名称 Compounds	分子式 Molecular formula	分子量 Molecular mass	相对含量(%) Relative content		
				SFE	Micro	SD
20	1,8 桉树脑(1,8-Cineole)	C ₁₀ H ₁₈ O	154	18.676	9.016	13.241
21	1- α -松油醇(1-alpha.-Terpineol)	C ₁₀ H ₁₈ O	154	1.132	—	4.655
22	水合冬青油烯(cis-Sabinene hydrate)	C ₁₀ H ₁₈ O	154	—	—	0.612
23	橙花醇(Nerol)	C ₁₀ H ₁₈ O	154	—	—	1.055
24	2-甲氧基-4-(2-丙烯基)酚(Phenol, 2-methoxy-4-(2-propenyl))	C ₁₀ H ₁₂ O ₂	164	0.852	—	1.598
25	顺菊烯醇(cis-Chrysanthenol)	C ₁₀ H ₁₄ O ₂	166	1.566	—	—
26	1,2-二甲氧基-4-(2-丙烯基)苯(Benzene, 1,2-dimethoxy-4-(2-propenyl)-)	C ₁₁ H ₁₄ O ₂	178	1.466	—	—
27	双环己基, 甲酮(Methanone, dicyclohexyl-)	C ₁₃ H ₂₂ O	194	0.843	—	—
28	6,10-二甲基-2-十一烷酮(2-Undecanone, 6,10-dimethyl-)	C ₁₃ H ₂₆ O	198	0.909	1.123	—
29	顺石竹烯(cis-Caryophyllene)	C ₁₅ H ₂₄	204	1.071	0.868	—
30	反石竹烯(trans-Caryophyllene)	C ₁₅ H ₂₄	204	9.530	19.079	14.834
31	β -葎草烯(beta.-Cubebene)	C ₁₅ H ₂₄	204	1.307	1.284	2.307
32	α -葎草烯(alpha.-Humulene)	C ₁₅ H ₂₄	204	1.897	2.318	—
33	β -芹子烯(beta.-Selinene)	C ₁₅ H ₂₄	204	1.051	0.692	8.217
34	(+)-香树烯((+)-Aromadendrene)	C ₁₅ H ₂₄	204	2.461	1.475	0.928
35	β -法呢烯(beta.-Farnesene)	C ₁₅ H ₂₄	204	1.440	0.714	—
36	γ -杜松烯(gamma.-Cadinene)	C ₁₅ H ₂₄	204	—	2.152	—
37	石竹烯醇-II(Caryophyllenol-II)	C ₁₅ H ₂₄ O	220	1.000	10.528	8.944
38	艾蒿素(Vulgarolb)	C ₁₅ H ₂₄ O	220	1.208	2.092	1.333
39	9-异丙烯基-7,7,8-三甲基-4-杂氧三环辛烷 (9-Isopropenyl-7,7,8-trimethyl-4-oxatricyclooctane)	C ₁₄ H ₂₀ O ₂	220	1.860	—	—
40	橙花叔醇(Nerolidol)	C ₁₅ H ₂₆ O	222	—	—	0.342
41	蓝桉醇(Globulol)	C ₁₅ H ₂₆ O	222	0.509	3.519	3.408
42	十四酸(Tetradecanoic acid)	C ₁₄ H ₂₈ O ₂	228	0.593	—	—
44	2-十二烷基乙醇(Ethanol, 2-(dodecyloxy))	C ₁₄ H ₃₀ O ₂	230	0.762	—	—
45	(E)-5-十八烯(5-Octadecene, (E)-)	C ₁₈ H ₃₆	252	0.658	—	0.172
46	十六酸(Hexadecanoic acid)	C ₁₆ H ₃₂ O ₂	256	6.572	6.169	0.427
47	(Z)-9,17-十八二烯醛(9,17-Octadecadienal, (Z)-)	C ₁₈ H ₃₂ O	264	8.211	2.247	—
48	6,10,14-三甲基,2-十五烷酮(2-Pentadecanone, 6,10,14-trimethyl)	C ₁₈ H ₃₆ O	268	—	—	0.187
49	双(2-甲基丙基),1,2-苯二甲酸 (1,2-Benzenedicarboxylic acid, bis(2-methylpropyl))	C ₁₆ H ₂₂ O ₄	278	1.774	—	—
50	二丁基-1,2-苯二甲酸(1,2-Benzenedicarboxylic acid, dibutyl)	C ₁₆ H ₂₂ O ₄	278	2.066	—	—
51	新植二烯(Neophytadiene)	C ₂₀ H ₃₈	278	—	3.360	—
52	(Z,Z)-9,12-十八碳二烯酸(9,12-Octadecadienoic acid)	C ₁₈ H ₃₂ O ₂	280	—	0.375	—
53	硬脂酸(Octadecanoic acid)	C ₁₈ H ₃₆ O ₂	284	1.731	—	—
54	十六酸乙酯(Hexadecanoic acid, ethyl ester)	C ₁₈ H ₃₆ O ₂	284	—	1.716	—
55	乙基亚油酸(Ethyl linoleate)	C ₂₀ H ₃₆ O ₂	308	—	1.640	—
56	10-脱甲基角鲨烯(10-Demethylsqualene)	C ₂₉ H ₄₈	396	1.076	—	—
已鉴定物占总挥发油的百分含量(%)				78.91	84.91	78.79
Percentage of the identified compounds in total volatile oil						

注: SFE:超临界 CO₂; Micro:微波; SD:水蒸气蒸馏。 Note: SFE: supercritical CO₂; Micro: microwave; SD: Steam distillation.

量的 84.91%。从表 2 可知,三种方法提取的挥发油中有 13 种相同成分,三种方法提取的挥发油共被鉴定出 56 种成分。

(2)艾叶挥发油的化学成分较复杂,不同提取方法所提取的挥发油化学成分也有差异。微波萃取与超临界萃取所得挥发油的化学成分有较大相似性,但其成分的相对含量差异较大,超临界萃取挥发油的主要化学成分为 1,8 桉树脑、反石竹烯、十六酸和 9,17-十八二烯醛,其中 1,8 桉树脑的相对含量大大高于后二者;微波萃取的为反石竹烯、1,8 桉树脑、石竹烯醇、十六酸和 9,12-十八二烯酸;水蒸气蒸馏

所得挥发油的化学成分与前两者有较大的差异,其主要化学成分为反石竹烯、1,8 桉树脑、石竹烯醇和 β -芹子烯。艾叶的主要挥发性成分 1,8 桉树脑、樟脑在三种方法提取的挥发油中均有检出,但冰片在水蒸气蒸馏所得挥发油中未检出。

(3)由表 2 可知,有多种组分如:桉树脑、樟脑、石竹烯、冰片、 γ -松油烯、 β -葎草烯、 α -葎草烯、莰烯、棕榈酸、 β -芹子烯、 β -葎草烯等十多种化合物与文献所报道的相同。在检出上述化合物的同时,本文还鉴定出如:艾蒿素、金刚烷、顺罗勒烯、顺香芹(下转第 606 页 Continue on page 606)

罗汉果植株由营养生长进入生殖生长,8月罗汉果开始进入旺盛挂果期,至9月达到生长量和挂果量最高点。

(2)罗汉果叶片中氮、磷、钾的含量均随着生长发育的进程而变化。至7月份,氮、磷、钾的含量达到最高后,开始缓慢下降,叶片中的氮含量在11月达到最低点,而叶片中磷和钾的含量在10月达到最低点后,复又升高。

(3)罗汉果植株的月生长总量及各级侧蔓的月生长量与叶片中的氮、磷、钾的含量成负相关。也就是说,植株的生长量愈大,叶片中的氮、磷、钾的含量愈低。

(4)根据罗汉果的生长发育规律和养分的需求规律,在罗汉果的施肥管理上,施肥的重点应放在5~9月植株生长最旺盛的时期。5月份以前以缓效性有机肥为主,配施以适量速效性氮素化肥,6~9月则根据植株的生长发育状况和其叶片的N、P、K养分浓度变化,施以适量的N、P、K肥料,以促进花芽的分化和果实的膨大,10月份以后,根据植株的长势和叶片的N、P、K养分浓度变化,适当补充N、P、K养分,防止早衰。

在本项目研究中得到黄翠珍同志的大力支持和

(上接第590页 Continue from page 590)

醇、水合冬青油烯、香树烯、法呢烯、石竹烯醇、十氢萘、蓝桉醇、10-脱甲基角鲨烯等20多种文献中未曾报道过的成分。而在文献报道中含量较高的蒿酮、芳樟醇、水芹烯和侧柏醇则未检出。这些差异与艾叶的产地、气候、生长环境以及提取条件等有关(江苏新医学院,2002;姚发业等,2001;潘炳光等,1992;尹庚明等,1999)。此外,在艾叶挥发油中还含有少量的醛、酮、酚、烷烃及苯系物类化合物。

(4)首次利用超临界CO₂萃取和微波辅助萃取艾叶挥发油,和水蒸气蒸馏提取艾叶挥发油在外观性状上优于微波萃取的;微波萃取的收率最高,超临界CO₂萃取的次之,水蒸气蒸馏的最低(其三种方法提取的挥发油工艺的研究另发表)。

综上所述,超临界CO₂萃取挥发油的品质较优越,超临界CO₂萃取法为提取艾叶挥发油的理想方法,微波辅助萃取也不失为一种可行的方法。

帮助,在此表示感谢。

参考文献:

- 中国土壤学会农业化学专业委员会. 1984. 土壤农业化学常规分析方法[M]. 北京:科学出版社.
- 全新华. 2003. 5亿元大市场:为何不种罗汉果? [N]. 桂林日报, 9月10日, 第7版.
- 华孟, 段孟联, 陆景陵. 1987. 土壤肥料学[M]. 北京:中国广播电视台出版社.
- 李合生, 孟庆伟, 夏凯, 等. 2002. 现代植物生理学[M]. 北京:高等教育出版社.
- 林泉, 王秀琴, 王润珍. 1981. 罗汉果叶组织培养的研究. 广西植物, 1(1): 18—24.
- 钟仕强, 李海泉, 钟振环. 1998. 罗汉果丰产栽培技术研究初报. 广西农业科学, 12: 28.
- 胡秉明, 张全德. 1985. 农业试验统计分析方法[M]. 杭州:浙江科学技术出版社.
- 黄启禄, 莫振如, 陆善旦. 1994. 罗汉果栽培入门. 南宁:广西科学技术出版社.
- QI XX(漆小雪), LI F(李锋), LI GZ(李光耀), et al. 2004. Study on the nutrition situation of soil and the output and quality of *Siraitia grosvenorii* (Swingle) C. Jeffrey fruits in the main productive areas(罗汉果产区土壤肥力状况与罗汉果产量和品质的关系). 广西科学, 11(3): 273—377.
- 彭克明, 裴保义. 1980. 农业化学(总论)[M]. 北京:农业出版社.

参考文献:

- 江苏新医学院. 2002. 中药大辞典(上册)[M]. 上海:上海科学技术出版社, 559—562.
- Pan JG(潘炳光), Xu ZL(徐植灵), Ji L(吉力). 1992. Chemical constituents of volatile oils from *Artemisiae argyi* (艾叶挥发油的化学研究)[J]. *China J Chinese Materia Medica*(中国中药杂志), 17(12): 741—744.
- Yao FY(姚发业), Qiu Q(邱琴), Liu TL(刘延礼), et al. 2001. Chemical components of essential oils from folium *Artemisiae argyi* (艾叶挥发油的化学成分)[J]. *J Instrumental Analysis*(分析测试学报), 20(3): 42—45.
- Yin GM(尹庚明), Sun N(孙宁), Zhu JH(朱锦瞻), et al. 1999. Extraction of volatile components of *Artemisiae argyi* and analysis by Gas Chromatography/Mass Spectrometry(艾叶挥发性成分的提取及其化学成分的气相色谱/质谱分析)[J]. *Chin J Anal Chem*(分析化学), 27(1): 55—58.
- Zhou F(周峰), Qin LP(秦路平), Liang JF(连佳芳). 2000. Constituents, bio-activity and plant resource from *Artemisia argyi*(艾叶的化学成分、生物活性和植物资源)[J]. *J Pharm Practice*(药学实践杂志), 18(2): 96—98.